

北 大 森 明 巨  
 北 大 岸 力  
 水資源開発公団 小野寺 直

1 まえびら 河床波が砂堆から遷移河床に移行する領域では浮遊砂が卓越する。浮遊砂礫と河床砂礫の間には交換があるから浮遊砂にも掃流砂と同様に影距離が存在する。板倉ら<sup>(1)</sup>は、浮遊砂礫の河床からのpick upが剛石より強いとこれによりなるものとして理論と展開し良好の結果を得ているが、Sumetら<sup>(2)</sup>は、この様な強い剛石がBurstingと密接に関係することを示した。又、著者ら<sup>(3),(4)</sup>は、河床波がある場合、Burstingが河床波の谷に集中し、谷が浮遊砂の主要な発生源となっていることを示した。以上のことから、本研究では、浮遊砂を考慮した河床波発生理論について考察し、河床波の発生に及ぼすBurstingの効果を探る。

2 河床波上の流れ 座標系を図1の様に取り、河床に

$$\eta = \eta_0 \cdot \exp[ik(x - ct)], \quad k: \text{波数} \dots (1) \quad \text{の微小擾乱を与}$$

$$\text{える。流水間数 } \tilde{v} \text{ を用いて } u = U_0 - 2\tilde{v}/\alpha y, \quad v = 2\tilde{v}/\alpha x \dots (2)$$

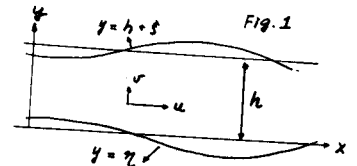
$$\text{と置く。ここで、} U_0 = U_{00} \cos(\beta - t) \dots (3) \quad \tilde{v} = U_{00} f(\beta) \eta \dots (4)$$

と置き、(2)~(4)式を速度方程式に代入し、 $f$ の2次以上の項を無視し、

Engelundら<sup>(5)</sup>と同様の手法で $f$ について解くと次式が得られる。

$$f(\beta) = A_1 e^{i\beta} + A_2 e^{-i\beta} + A_3 e^{i\beta} + A_4 e^{-i\beta} \quad \alpha = \sqrt{k^2 - \beta^2}, \quad \beta = [\beta^2 + i k U_{00} h / c] \dots (5)$$

ここで、 $\beta = y/h$ ,  $kx = kh$ ,  $\beta = [15/\delta + 2.5 \ln(y/d_m)]^2$ ,  $d_m$ : 平均粒径,  $U_{00}/U_{*c} = K = 15/\beta \tan \beta$ ,  $U_{*c}$ : 摩礫速度,  $U_{00}/U_{*c} = 15/\beta \sin \beta$ ,  $E = U_{*c} h / 15$ : 渦動粘性係数



境界条件 河床面が水面での運動学的条件と  $y = h$  で圧力が静水圧に等しいとする

$$f(0) = 1 \dots (6) \quad f'(0) = U_{00}^2 / g h \cdot f''(0) \dots (7) \quad \text{河床面に作用する流体力} \propto U(0)^2 \text{ とし}$$

$$E(2\tilde{v}/\alpha y + 2\tilde{v}/\alpha x) = U_{00}^2 / K^2 \dots (8) \quad \text{と置く} \quad f''(0) - 30/K \cdot f'(0) + k U_{00}^2 = 0 \dots (9) \text{ が得られる。}$$

(5)式を逆変形し、2項は非粘性解である。水面近傍の流れは非粘性流と見て良しから、水面に向かつて急激に増加する  $e^{i\beta}$  の項を除くために  $A_4 = 0$  とする。

3 流砂 流砂と掃流砂と浮遊砂に分けよれよれとついで運水距離を考へる。

掃流砂 掃流砂の非平衡式と  $l \partial^2 \alpha / \alpha x = \alpha(x) - \alpha(x-l) \dots (10) \quad \text{と与える} \quad \text{ここで、} \alpha$  は掃流砂間数で  $\alpha = 8(\tau_x - \tau_{*c})^{1.5}$  と用いた。又、 $\tau_x = \rho g S d_m - \mu \partial^2 \alpha / \alpha x$ ,  $S = 1.65$ ,  $\mu = 0.1$  とする。

$l/d_m = 100(\tau_x - \tau_{*c})^n$ ,  $\tau_x < 1.5$  のとき  $n = 1.5$ ,  $\tau_x > 1.0$  のとき  $n = 0.78$  と与えた。これは、著者らの方法<sup>(4)</sup>によつて得られる  $l$  の近似式である。

浮遊砂 浮遊砂濃度  $C$  と  $C = C_0 + \tilde{C}$ ,  $C_0 = C_{00} e^{-\eta y / E}$ ,  $\tilde{C} = \eta/h \cdot g(\beta) \dots (11) \quad \text{と置く。}$

(11)式を浮遊砂の連続の式に代入し、 $W_0 \partial C_0 / \partial y + E \partial^2 C_0 / \partial y^2 = 0$  と用いると(12)式が得られる。

$$U_0 \partial \tilde{C} / \alpha x + v \partial C_0 / \alpha y = W_0 \partial \tilde{C} / \alpha y + E \partial^2 \tilde{C} \dots (12) \quad \text{ここで、(12)式に基づいて } W_0 = E = 0 \text{ とする}$$

とすると  $\partial \tilde{C} / \alpha x = -v / U_0 \cdot \partial C_0 / \alpha y$ 。この場合、移流のみであるから  $\partial \tilde{C} / \alpha x = 0$  とするのが理解し易い。そこで、河床面の  $\eta_0$  近傍で  $C_0 = \cos \eta_0 t = C_{00}$  とし、河床面を離れると  $v$ ,  $\partial C_0 / \alpha y$  が急激に減少することを考慮して  $\partial C_0 / \alpha y$  の項を取り除く。このときの(12)式の解をEngelundらと同様の手法によつて求め、水面に向かつて  $\tilde{C}$  が増大する項を取り除くと(13)式が得られる。

$$g(\beta) = B \cdot \exp[-\eta y / E \{ (1 + 4 \mu x U_{00} E / W_0 h)^2 + 1 \} / \beta] \dots (13)$$

$W_0 \propto C_0$ 。砂粒径の密度間数  $P$  を正規分布とし、その標準偏差  $\sigma = 0.4 d_m$  とする。河床砂が一様粒径であ

る場合の  $C_b$  は板倉<sup>(1)</sup>の本は  $C_b(d) = 0.008 [0.14 \sqrt{W} / (d) \cdot \Omega / \sqrt{h^3 s d} - 1]$  ---- (14)

混合粒径に対し  $C_b = 0$  とする  $d = d_s$  を浮遊限界粒径として、 $W_s$ ,  $C_{b0}$  と

$$W_s = \int_{d_0}^{d_s} W P d(d) / B_s, \quad C_{b0} = \int_{d_0}^{d_s} C_b(d) P d(d), \quad P_s = \int_{d_0}^{d_s} P d(d)$$

で与える。ここで、 $d < d_0 = 0.125 \text{ mm}$  の砂礫は wash load で流下するものとして浮遊砂より取り除くと、 $W$  は沈降速度で Rubley の式で与えらる。

境界条件  $C_b \propto f_B \cdot 4T_B \cdot U_B / W_s$  ---- (15) とおく。ここで、 $f_B$ ,  $4T_B$ ,

$U_B$  は、それぞれ Bursting の発生回数、継続時間、上昇速度であり次の様に与えらる。 $f_B / U_m = \text{const.}$   $4T_B \propto \epsilon / U_B / U_m \propto 1 / U_m$ ,  $U_m$ : 平均流速、

$$U_B \propto U_* [1 + \alpha_B k (s - \eta)]$$
 ---- (16)

Bursting は圧力が逆勾配の場で発生し易く、河床波がある場合は、最大圧力勾配で最も強度が大きい<sup>(9)</sup>。(16)式はこの点に着目して Bursting の効果を表わしたものである。(11), (12), (16)式より(17)式が得らる。

$$B = C_{b0} [-f(\eta) + \alpha_B k_* (s/\eta_0 - 1)]$$
 ---- (17)

4. 不安定解析 以上の諸式及び砂の連続の式を用いて不安定

解析を行う。図-2日  $d_m = 0.28 \text{ mm}$ ,  $R/d = 100$  のとき得られた河床波の発生領域を示したものである。図に示す日  $1/5 < (1/5)_T$  では砂堆が発生する。

従って、 $(1/5)_T$  を遷移河床の下限値と看做する<sup>(9)</sup>とみておける。同様に  $(1/5)_A$  は反砂堆の下限値と看做される。岸、黒木は、これらに対して次の様な実験式を得ておる。 $(1/5)_T = 0.02 (\%)^{-0.5}$  ---- (18)  $(1/5)_A = 0.07 (\%)^{-0.6}$  ---- (19)

この関係が図-3に  $C=0$  (掃流砂のみ) 及び  $C \neq 0$ ,  $\alpha_B = 0$  のときの計算値と共に示されている。図によれば、掃流砂のみでは実験式との違が非常に大きいが、又、 $C \neq 0$  でも  $\alpha_B = 0$  の場合、 $C=0$  と比べ実験式に近づいているがまだ不十分であり、砂堆と反砂堆の共存域が見られる。これに対し図-4に示す様に  $\alpha_B = 0.2$  とすると両者の共存域は小さくなり、更に  $\alpha_B = 0.5$  とすると実験式と理論値の一致が良くなり一致する。 $\alpha_B = 0.5$  の場合、図中の斜線部分には下流に依る反砂堆が発生する。低 Froude 数の移動床実験<sup>(10)</sup>で、波長が小さくなると共に  $\eta$  と  $s$  の位相関係が逆位相から同位相に移行する傾向が見られており、砂堆と上記反砂堆の共存はあり得るものと看做される。図-5は、 $\alpha_B = 0.5$  で、 $d_m$  を変えたとき限界線を示したものである。(下流に依る反砂堆は除いた) 図に示す日、 $d_m \rightarrow$  大と共に、同じ  $\eta$  でも浮遊砂量が減少するため  $(1/5)_T$  が  $1/5 \rightarrow$  大の方向にずれておるのかわかる。

5. おわりに

以上示した様に浮遊砂を考慮し、更に Bursting の効果を取り入れると河床波の発生領域がかなり良く区分できることがわかった。浮遊砂の効果日、砂堆に関して日 crest から発生するもの日非発生の方向と作用し、谷から発生するものは逆に作用する。上流に依る反砂堆ではこの逆である。従って、両者より正確に見積もることが重要である。本研究では、Bursting のモデルとして極めて単純なものを用いたが、実際にはかなり複雑であり、それが  $(1/5)_T \sim (1/5)_A$  間の多価性に関係しておるものと思われる。

参考文献

- 1) 板倉、岸; ASCE, HY8, 1990年.
- 2) Sumer & Ogunz, J.F.M, 1978年.
- 3) 森、岸、柳屋、中40周年講 1979年
- 4) 板倉、森、岸; 中25周年講 1980年.
- 5) Engelund & Fredpe; Seriese paper 4, 1976年.
- 6) 林、尾崎、和泉; 中25周年水理講演会 1981年.
- 7) 森、岸; 同左 1981年
- 8) Kline 他, J.F.M, 1967年.
- 9) 岸、黒木; 北工学研究所報告, 1975年.
- 10) 森、岸、黒木; 中40周年講

